

Amateurfunk

Mein Weg zum DXpeditionär



Wohl die meisten Kurzwellen-DXer haben schon einmal mit Martti Laine, OH2BH, bzw. mit einer unter seiner Mitwirkung organisierten DXpeditionen gefunkt. Einige DXCC-Gebiete hat Martti erstmals aktiviert, nachdem er diese nach intensiven Recherchen „entdeckt“ und deren Anerkennung bei den DXCC-Entscheidern erreicht hatte. In seinem Beitrag schildert der DX-Reisende, wie es dazu kam.

Foto: OH2BH 768

Kombination aus Antennenkoppler und schaltbarem Tiefpassfilter

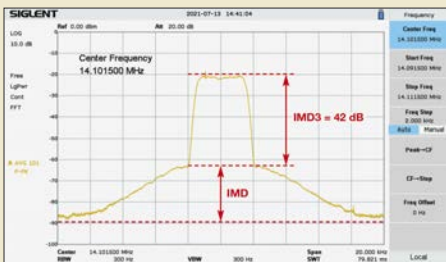


Dieses hier näher betrachtete Gerät ist für die Anpassung von endgespeisten Halbwellenstrahlern für die Bänder von 60 m bis 15 m und 10 W Belastung ausgelegt. Das schaltbare Tiefpassfilter ist besonders bei der Nutzung von Transceivern oder Sendern empfehlenswert, die nicht über eine ausreichende Oberwellenunterdrückung verfügen.

Foto: DF2BC 780

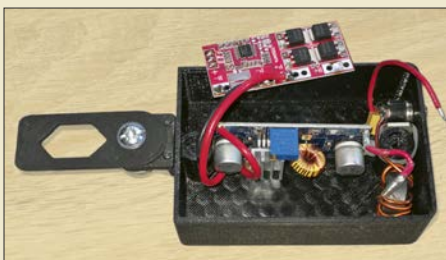
Erfahrungen mit der 11-m-Antenne Solarcon Antron A99 auf 10/15 m 782

Sender-IMD-Test mittels Rauschen



Das Intermodulationsverhalten von Sendern wird in der Regel mit einem NF-Zweitonsignal ermittelt. Die hier vorgestellte Messung mithilfe eines NF-Rauschsignals ist hingegen genauer und ehrlicher als das konventionelle Messverfahren. Gute KW-Sender erreichen dabei mehr als 40 dBc IMD3-Abstand. Screenshot: DC4KU 783

Li-Ionen-Akkumulator im Eigenbau



In diesem Beitrag wird der Selbstbau eines Akkumulators aus relativ preiswert erhältlichen Lithium-Ionen-Rundzellen der Bauform 18650 beschrieben. Integriert sind eine Lade-/Entladesteuerung, ein Spannungswandler sowie eine Schaltung, die vor Überspannung am Ausgang schützt.

Foto: DL2IAO 800

NVIS-Antenne für Amateur- und Notfunk – Konzeptüberlegungen 801

4-Element-Antenne für 70 cm 804

60 Jahre Antarktis-Vertrag 829

Aktuell

Editorial	759
Postbox	762
Markt	764
Literatur	767
Ausbreitung Oktober 2021	826
Inserentenverzeichnis	838
Vorschau FA 11/21	838

QTCs

AATiS e.V.	822
------------	-----



IOTA-QTC 827

CW-QTC 827

Bergfunk-QTC 828

QRP-QTC 829

DX-QTC 830

QSL-Splitter 831

SWL-QTC 831

Digital-QTC 832

Sat-QTC 833

UKW-QTC 834

DL-QTC 836

Afu-Welt 836

OE-QTC 837

HB-QTC 837

Termine Oktober 2021 838

QSL-Telegramm und QSL-Manager sind stets im Download-Bereich auf funkamateurl.de als PDF-Datei zu finden. Die Daten sind außerdem bis 1993 zurück unter <https://qslroutes.funkamateurl.de> zugänglich.

Unser Titelbild



Ein SWV- und Leistungsmesser gehört zu jeder Stationsausrüstung und den nach wie vor attraktiven Selbstbauprojekten. Das im Beitrag ab Seite 788 beschriebene Gerät kann Sendeleistungen zwischen 100 μ W und 150 W im Frequenzbereich von 1,8 MHz bis 52 MHz messen sowie das Stehwellenverhältnis berechnen und anzeigen.

Foto und Screenshots: DL4JAL;
Gestaltung: H. Benkenstein

BC-DX

Englisch für Europa 824

BC-DX-Informationen 825



Elektronische QSL-Karte von Radio Sylvania auf 6070 kHz
QSL: DL1AX

Wissenswertes

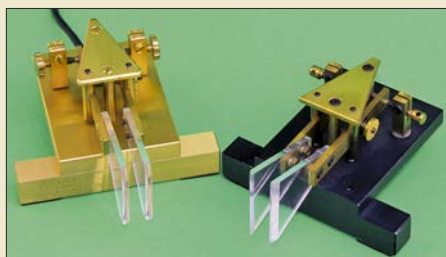
Pionierstart:
Miniatursatellit PIXL-1 mit
welt kleinstem Laserterminal 771

Business-Netzwerke 772

Energiegewinnung aus
Radiowellen 779

Geschichtliches

Schurr – ein Qualitätssiegel für handgefertigte Morsetasten



Die Morsetasten von Gerhard Schurr, DH2SAA, sind bei Telegrafisten im In- und Ausland bestens bekannt und haben einen guten Ruf. Mancher besitzt vielleicht sogar noch eins der ersten Produkte wie den Schurr Wabblers aus dem Jahr 1984 (hier im Bild). Der 10. Todestag von Gerhard Schurr ist Anlass, an den versierten Feinmechaniker zu erinnern.

Foto: DL1DSN 774

Vom Detektorempfänger zum 2-m-Transistor-SSB-Transceiver (3) 776

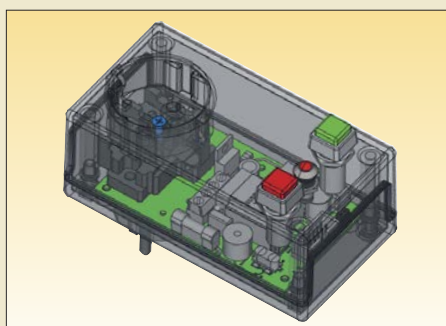
Erfahrungen eines TV-DXers 778

Funk

CB- und Jedermannfunk 823

Elektronik

Leistungsregelung mithilfe der Wellenpaketsteuerung



Bei relativ vielen, aus dem 230-V-Netz versorgten Geräten ist es zur Variation der aufgenommenen Leistung ausreichend, das Verhältnis von Ein- und Ausschaltedauer zu ändern. So lassen sich die bei der alternativ nutzbaren Phasenanschnittmethode auftretenden Störungen vermeiden, da die auch als Wellenpaketsteuerung bezeichnete Variante stets bei Nulldurchgängen der Wechselspannung schaltet. Der Beitrag zeigt den Aufbau im Steckergehäuse.

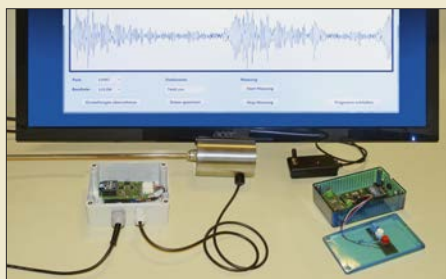
Grafik: Bauer 784

Koaxialrelais selbst repariert 787

Komfortables SWV- und Wattmeter mit OLED-Display (1) 788

Modulplatinen für Experimente und Selbstbauprojekte (3) 792

Dreiachsiger Seismograph für geophysikalische Messungen



Mit dem hier vorgestellten dreiachsigen Geophon-Sensorgerät sind Stärke und Richtung von sich im Erdboden im Infraschallbereich ausbreitenden Wellen erkennbar. Bei kontinuierlicher Auswertung der Messergebnisse kann man frühzeitig eine Warnung ausgeben, da diese Wellen vielfältige Ursachen haben können und nicht nur auf Erdbeben begrenzt sind.

Foto: Sander 794

Vierfach-Signalsplitter für 10 MHz mit Wilkinson-Teilern 798

Einsteiger

W3DZZ-Antenne selbst gebaut 806

DXpeditionär auf Weltreise: Danny Weil

Danny Weil nimmt in der frühen Geschichte des DXpeditionswesens eine besondere Stellung ein: Der Londoner verwirklichte ab den 1950er-Jahren seinen Traum, per Segelboot um die Welt zu reisen. An Bord seiner *Yasme* befand sich auch eine Amateurfunkanlage, wie im ersten Teil dieser Beitragsreihe nachzulesen.



SDR-Transceiver Hermes Lite V2

Das Open-Source-Projekt Hermes Lite V2 basiert auf einem 12-Bit-Breitband-Modem und einem leistungsfähigen FPGA-Schaltkreis. Es ist nicht nur hinsichtlich des Preis-Leistungs-Verhältnisses interessant, sondern hat angesichts seiner technischen Spezifikationen sowohl für Einsteiger als auch für Fortgeschrittene eine Menge zu bieten. Der Beitrag gibt dazu einen Überblick.

Antennenkoppler für unterwegs

Handelsübliche Antennenkoppler sind für den Fieldday- oder SOTA-Betrieb oft zu voluminös und schwer. Die vorgestellte Eigenbaulösung bietet dazu eine praxiserprobte Alternative. Sie ist für 5 W Sendeleistung konzipiert und schöpft die Möglichkeiten der Miniaturisierung weitgehend aus.



... und außerdem:

- DCF77-Empfangsmodul selbst gebaut
- Meteor-Scatter-Beobachtungen mithilfe von BRAMS
- Eigenbau-Magnetantenne für beengte Platzverhältnisse
- Stromausfälle erkennen und dokumentieren
- Grundlagen des CSS-Modulationsverfahrens

Redaktionsschluss FA 11/21: 7. 10. 2021
Vorankündigungen ohne Gewähr